

รายการอ้างอิง

ภาษาไทย

ชัยนันดร์ธ ปทุมานนท์. ระบบวิทยาการแพทย์. พิมพ์ครั้งที่ 1. กรุงเทพมหานคร: สำนักพิมพ์สุขโภก, 2541.

สาธารณสุข, กระทรวง. กรมอนามัย. กองทันตสาธารณสุข. รายงานผลการสำรวจสภาวะทันตสุขภาพแห่งชาติ ครั้งที่ 5 พ.ศ.2543-2544. กรุงเทพมหานคร: สำนักพิมพ์สามเจริญ พานิชย์, 2545.

ศิลป์ แจ่ม อุลิตรัตน์. ระบบวิทยาพื้นฐาน. พิมพ์ครั้งที่ 1. สงขลา: โซนพรินท์, 2540.

ภาษาอังกฤษ

Alpagot, T., Wolff, L. F., Smith, Q. T. and Tran, S. D. Risk indicators for periodontal disease in a racially diverse urban population. J Clin Periodontol 23 (1996): 982-988.

Alsina, M., Olle, E. and Frias, J. Improved, low-cost selective culture medium for *Actinobacillus actinomycetemcomitans*. J Clin Microbiol 39 (2001): 509-513.

Ashimoto, A., Chen, C., Bakker, I. and Slots, J. Polymerase chain reaction detection of 8 putative periodontal pathogens in subgingival plaque of gingivitis and advanced periodontitis lesions. Oral Microbiol Immunol 11 (1996): 266-273.

Asikainen, S., Lai, C. H., Alaluusua, S. and Slots, J. Distribution of *Actinobacillus actinomycetemcomitans* serotypes in periodontal health and disease. Oral Microbiol Immunol 6 (1991): 115-118.

Beck, J. D., Koch, G. G., Zambon, J. J., Genco, R. J. and Tudor, G. E. Evaluation of oral bacteria as risk indicators for periodontitis in older adults. J Periodontol 63 (1992): 93-99.

Christersson, L. A., Fransson, C. L., Dunford, R. G. and Zambon, J. J. Subgingival distribution of periodontal pathogenic microorganisms in adult periodontitis. J Periodontol 63 (1992): 418-425.

Cortelli, J. R., Cortelli, S. C., Jordan, S., Haraszthy, V. I. and Zambon, J. J. Prevalence of periodontal pathogens in Brazilians with aggressive or chronic periodontitis. J Clin Periodontol 32 (2005): 860-866.

- Dahlen, G., Widar, F., Teanpaisan, R., Papapanou, P. N., Baelum, V. and Fejerskov, O. *Actinobacillus actinomycetemcomitans* in a rural adult population in southern Thailand. Oral Microbiol Immunol 17 (2002): 137-142.
- Dowsett, S. A., Kowolik, M. J., Archila, L. A., Eckert, G. J. and LeBlanc, D. J. Subgingival microbiota of indigenous Indians of Central America. J Clin Periodontol 29 (2002): 159-167.
- Eley, B. M. and Cox, S. W. Advances in periodontal diagnosis. 4. Potential microbiological markers. Br Dent J 184 (1998): 161-166.
- Genco, R. J. Current view of risk factors for periodontal diseases. J Periodontol 67 (1996): 1041-1049.
- Goodson, J. M., Palys, M. D., Carpino, E., Regan, E. O., Sweeney, M. and Socransky, S. S. Microbiological changes associated with dental prophylaxis. J Am Dent Assoc 135 (2004): 1559-64; quiz 1622-1623.
- Griffen, A. L., Becker, M. R., Lyons, S. R., Moeschberger, M. L. and Leys, E. J. Prevalence of *Porphyromonas gingivalis* and periodontal health status. J Clin Microbiol 36 (1998): 3239-3242.
- Grossi, S. G., Zambon, J. J., Ho, A. W., Koch, G., Dunford, R. G., Machtei, E. E., et al. Assessment of risk for periodontal disease. I. Risk indicators for attachment loss. J Periodontol 65 (1994): 260-267.
- Haffajee, A. D. and Socransky, S. S. Effect of sampling strategy on the false-negative rate for detection of selected subgingival species. Oral Microbiol Immunol 7 (1992): 57-59.
- Hamlet, S. M., Cullinan, M. P., Westerman, B., Lindeman, M., Bird, P. S., Palmer, J., et al. Distribution of *Actinobacillus actinomycetemcomitans*, *Porphyromonas gingivalis* and *Prevotella intermedia* in an Australian population. J Clin Periodontol 28 (2001): 1163-1171.
- Holland, N. T., Smith, M. T., Eskenazi, B. and Bastaki, M. Biological sample collection and processing for molecular epidemiological studies. Mutat Res 543 (2003): 217-234.
- Katsoulis, J., Heitz-Mayfield, L. J., Weibel, M., Hirschi, R., Lang, N. P. and Persson, G. R. Impact of sample storage on detection of periodontal bacteria. Oral Microbiol Immunol 20 (2005): 128-130.

- Machtei, E. E., Dunford, R., Grossi, S. G. and Genco, R. J. Cumulative nature of periodontal attachment loss. J Periodontal Res 29 (1994): 361-364.
- Machtei, E. E., Dunford, R., Hausmann, E., Grossi, S. G., Powell, J., Cummins, D., et al. Longitudinal study of prognostic factors in established periodontitis patients. J Clin Periodontol 24 (1997): 102-109.
- Maiden, M. F., Cohee, P. and Tanner, A. C. Proposal to conserve the adjectival form of the specific epithet in the reclassification of *Bacteroides forsythus* Tanner et al. 1986 to the genus *Tannerella* Sakamoto et al. 2002 as *Tannerella forsythia* corrig., gen. nov., comb. nov. Request for an Opinion. Int J Syst Evol Microbiol 53 (2003): 2111-2112.
- Moncla, B. J., Braham, P., Dix, K., Watanabe, S. and Schwartz, D. Use of synthetic oligonucleotide DNA probes for the identification of *Bacteroides gingivalis*. J Clin Microbiol 28 (1990): 324-327.
- Narayanan, D., Hamlet, S., Cullinan, M., Davies, R., Ellwood, R., Bird, P., et al. The distribution of *Tannerella forsythia* in an adolescent and adult population. J Periodontal Res 40 (2005): 482-488.
- Page, R. C. and Beck, J. D. Risk assessment for periodontal diseases. Int Dent J 47 (1997): 61-87.
- Page, R. C. and Kornman, K. S. The pathogenesis of human periodontitis: an introduction. Periodontol 2000 14 (1997): 9-11.
- Papapanou, P. N., Baelum, V., Luan, W. M., Madianos, P. N., Chen, X., Fejerskov, O., et al. Subgingival microbiota in adult Chinese: prevalence and relation to periodontal disease progression. J Periodontol 68 (1997): 651-666.
- Papapanou, P. N., Sellen, A., Wennstrom, J. L. and Dahlen, G. An analysis of the subgingival microflora in randomly selected subjects. Oral Microbiol Immunol 8 (1993): 24-29.
- Papapanou, P. N., Teanpaisan, R., Obiechina, N. S., Pithpornchaiyakul, W., Pongpaisal, S., Pisuthanakan, S., et al. Periodontal microbiota and clinical periodontal status in a rural sample in southern Thailand. Eur J Oral Sci 110 (2002): 345-352.
- Paster, B. J., Boches, S. K., Galvin, J. L., Ericson, R. E., Lau, C. N., Levanos, V. A., et al. Bacterial diversity in human subgingival plaque. J Bacteriol 183 (2001): 3770-3783.

- Preus, H. R., Anerud, A., Boysen, H., Dunford, R. G., Zambon, J. J. and Loe, H. The natural history of periodontal disease. The correlation of selected microbiological parameters with disease severity in Sri Lankan tea workers. *J Clin Periodontol* 22 (1995): 674-678.
- Rodenburg, J. P., van Winkelhoff, A. J., Winkel, E. G., Goene, R. J., Abbas, F. and de Graaff, J. Occurrence of *Bacteroides gingivalis*, *Bacteroides intermedius* and *Actinobacillus actinomycetemcomitans* in severe periodontitis in relation to age and treatment history. *J Clin Periodontol* 17 (1990): 392-399.
- Sakamoto, M., Suzuki, M., Umeda, M., Ishikawa, I. and Benno, Y. Reclassification of *Bacteroides forsythus* (Tanner et al. 1986) as *Tannerella forsythensis* corrig., gen. nov., comb. nov. *Int J Syst Evol Microbiol* 52 (2002): 841-849.
- Sanz, M., Lau, L., Herrera, D., Morillo, J. M. and Silva, A. Methods of detection of *Actinobacillus actinomycetemcomitans*, *Porphyromonas gingivalis* and *Tannerella forsythensis* in periodontal microbiology, with special emphasis on advanced molecular techniques: a review. *J Clin Periodontol* 31 (2004): 1034-1047.
- Savitt, E. D. and Kent, R. L. Distribution of *Actinobacillus actinomycetemcomitans* and *Porphyromonas gingivalis* by subject age. *J Periodontol* 62 (1991): 490-494.
- Shizukuishi, S., Hayashi, N., Tamagawa, H., Hanioka, T., Maruyama, S., Takeshita, T., et al. Lifestyle and periodontal health status of Japanese factory workers. *Ann Periodontol* 3 (1998): 303-311.
- Slots, J., Feik, D. and Rams, T. E. *Actinobacillus actinomycetemcomitans* and *Bacteroides intermedius* in human periodontitis: age relationship and mutual association. *J Clin Periodontol* 17 (1990): 659-662.
- Slots, J. and Ting, M. Systemic antibiotics in the treatment of periodontal disease. *Periodontol 2000* 28 (2002): 106-176.
- Socransky, S. S. and Haffajee, A. D. The bacterial etiology of destructive periodontal disease: current concepts. *J Periodontol* 63 (1992): 322-331.
- Tan, K. S., Song, K. P. and Ong, G. *Bacteroides forsythus* prTH genotype in periodontitis patients: occurrence and association with periodontal disease. *J Periodontal Res* 36 (2001): 398-403.

- Tanner, A., Listgarten, M. A., Ebersole, J. L. and Strzempko, M. N. *Bacteroides forsythus* sp. nov. a slow-growing, fusiform *Bacteroides* sp. from human oral cavity. *Int J Syst Bacteriology* 36 (1986): 213-221.
- Tanner, A. C. and Goodson, J. M. Sampling of microorganisms associated with periodontal disease. *Oral Microbiol Immunol* 1 (1986): 15-22.
- Timmerman, M. F., Van der Weijden, G. A., Abbas, F., Arief, E. M., Armand, S., Winkel, E. G., et al. Untreated periodontal disease in Indonesian adolescents. Longitudinal clinical data and prospective clinical and microbiological risk assessment. *J Clin Periodontol* 27 (2000): 932-942.
- Tong, D. C. and Rothwell, B. R. Antibiotic prophylaxis in dentistry: a review and practice recommendations. *J Am Dent Assoc* 131 (2000): 366-374.
- Torrunguang, K., Nisapakultorn, K., Sutdhibhisal, S., Tamsailom, S., Rojanasomith, K., Vanichjakvong, O., et al. The effect of cigarette smoking on the severity of periodontal disease among older Thai adults. *J Periodontol* 76 (2005): 566-572.
- Tran, S. D., Rudney, J. D., Sparks, B. S. and Hodges, J. S. Persistent presence of *Bacteroides forsythus* as a risk factor for attachment loss in a population with low prevalence and severity of adult periodontitis. *J Periodontol* 72 (2001): 1-10.
- Umeda, M., Chen, C., Bakker, I., Contreras, A., Morrison, J. L. and Slots, J. Risk indicators for harboring periodontal pathogens. *J Periodontol* 69 (1998): 1111-1118.
- van Winkelhoff, A. J., Loos, B. G., van der Reijden, W. A. and van der Velden, U. *Porphyromonas gingivalis*, *Bacteroides forsythus* and other putative periodontal pathogens in subjects with and without periodontal destruction. *J Clin Periodontol* 29 (2002): 1023-1028.
- White, D. and Mayrand, D. Association of oral *Bacteroides* with gingivitis and adult periodontitis. *J Periodontal Res* 16 (1981): 259-265.
- Wolff, L. F., Aeppli, D. M., Pihlstrom, B., Anderson, L., Stoltzberg, J., Osborn, J., et al. Natural distribution of 5 bacteria associated with periodontal disease. *J Clin Periodontol* 20 (1993): 699-706.
- Wolff, L. F., Anderson, L., Sandberg, G. P., Reither, L., Binsfeld, C. A., Corinaldesi, G., et al. Bacterial concentration fluorescence immunoassay (BCFIA) for the detection of periodontopathogens in plaque. *J Periodontol* 63 (1992): 1093-1101.

- Ximenez-Fylie, L. A., Haffajee, A. D., Som, S., Thompson, M., Torresyap, G. and Socransky, S. S. The effect of repeated professional supragingival plaque removal on the composition of the supra- and subgingival microbiota. *J Clin Periodontol* 27 (2000): 637-647.
- Yang, H. W., Huang, Y. F., Chan, Y. and Chou, M. Y. Relationship of *Actinobacillus actinomycetemcomitans* serotypes to periodontal condition: prevalence and proportions in subgingival plaque. *Eur J Oral Sci* 113 (2005): 28-33.
- Yang, H. W., Huang, Y. F. and Chou, M. Y. Occurrence of *Porphyromonas gingivalis* and *Tannerella forsythensis* in periodontally diseased and healthy subjects. *J Periodontol* 75 (2004): 1077-1183.
- Zambon, J. J. Periodontal diseases: microbial factors. *Ann Periodontol* 1 (1996): 879-925.
- Zambon, J. J. Principles of evaluation of the diagnostic value of subgingival bacteria. *Ann Periodontol* 2 (1997): 138-148.
- Zambon, J. J., Christersson, L. A. and Slots, J. *Actinobacillus actinomycetemcomitans* in human periodontal disease. Prevalence in patient groups and distribution of biotypes and serotypes within families. *J Periodontol* 54 (1983): 707-711.
- Zambon, J. J., Grossi, S. G., Machtei, E. E., Ho, A. W., Dunford, R. and Genco, R. J. Cigarette smoking increases the risk for subgingival infection with periodontal pathogens. *J Periodontol* 67 (1996): 1050-1054.
- Zambon, J. J. and Haraszthy, V. I. The laboratory diagnosis of periodontal infections. *Periodontol 2000* 7 (1995): 69-82.

ภาคพนวก

ตารางที่ 16: ค่า weighted kappa coefficient (within ± 1 mm) สำหรับการวัดค่าความลึกของร่องลึกปริทันต์ระหว่างผู้ตรวจแต่ละคู่ และการตรวจซ้ำของผู้ตรวจแต่ละคน

ผู้ตรวจ	SP	OV	ST	KR	OJ	SS
SP	0.87	0.83	0.77	0.79	0.80	0.81
OV	-	0.86	0.85	0.94	0.87	0.84
ST	-	-	0.93	0.85	0.91	0.85
KR	-	-	-	0.88	0.87	0.85
OJ	-	-	-	-	0.95	0.88
SS	-	-	-	-	-	0.93

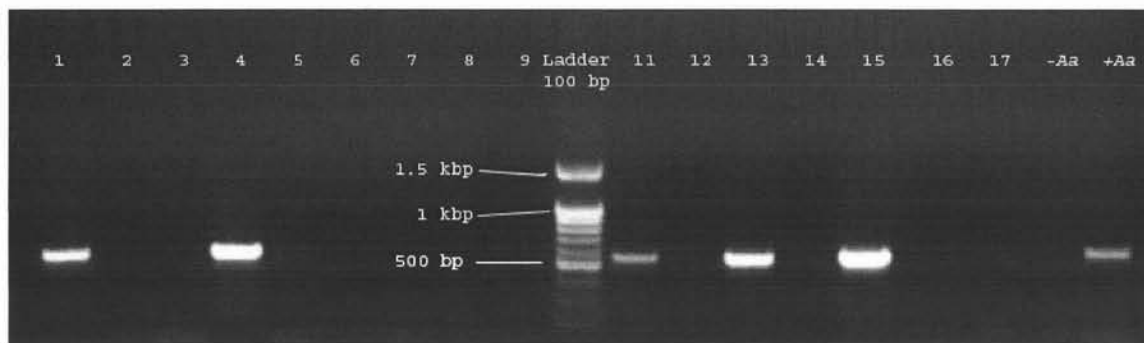
SP, OV, ST, KR, OJ, SS : อักษรย่อชื่อผู้ตรวจแต่ละคน

ตารางที่ 17: ค่า weighted kappa coefficient (within ± 1 mm) สำหรับการวัดค่าระดับการขีดเกาะของอวัยวะปริทันต์ระหว่างผู้ตรวจแต่ละคู่ และการตรวจซ้ำของผู้ตรวจแต่ละคน

ผู้ตรวจ	SP	OV	ST	KR	OJ	SS
SP	0.79	0.73	0.70	0.70	0.76	0.68
OV	-	0.83	0.78	0.74	0.80	0.77
ST	-	-	0.88	0.74	0.82	0.74
KR	-	-	-	0.81	0.80	0.78
OJ	-	-	-	-	0.90	0.78
SS	-	-	-	-	-	0.88

SP, OV, ST, KR, OJ, SS : อักษรย่อชื่อผู้ตรวจแต่ละคน

ภาพที่ 1: แสดงแถบดีเอ็นเอของแบคทีเรีย *Actinobacillus actinomycetemcomitans* ที่ตรวจพบในตัวอย่างทราบชุลินทรีย์ใต้เหงือกของกลุ่มศึกษา



Actinobacillus actinomycetemcomitans ขนาด 557 คู่เบส

หมายเหตุ:

ช่องที่ 1 – 9 และ 11 – 17: แสดงแถบดีเอ็นเอเพื่อระบุเชื้อแบคทีเรีย *A. actinomycetemcomitans* ของกลุ่มตัวอย่างดำเนินการที่ 1 – 9 และ 11 – 17

ช่องที่ 10: แสดงแถบดีเอ็นเอมาตรฐาน (DNA ladder) 100 คู่เบส

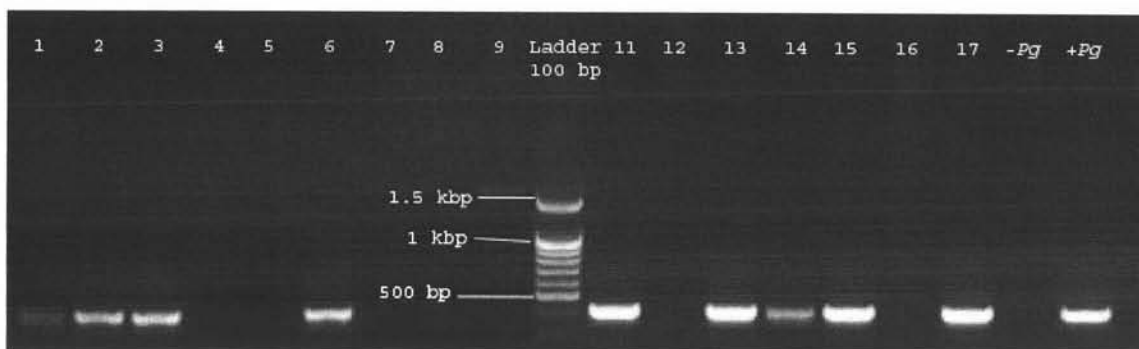
ช่องที่ 18: แสดงตัวควบคุมที่ไม่มีเชื้อแบคทีเรีย *A. actinomycetemcomitans* (negative control)

ช่องที่ 19: แสดงตัวควบคุมที่มีเชื้อแบคทีเรีย *A. actinomycetemcomitans* (positive control)

จากภาพ พนเปเชื้อแบคทีเรีย *A. actinomycetemcomitans* ในทราบชุลินทรีย์ใต้เหงือกของตัวอย่างที่ 1,

4, 11, 13 และ 15

ภาพที่ 2: แสดงแถบดีเอ็นเอของแบคทีเรีย *Porphyromonas gingivalis* ที่ตรวจพบในตัวอย่างคราบจุลินทรีย์ได้เห็นอกของกลุ่มศึกษา



Porphyromonas gingivalis ขนาด 404 คู่เบส

หมายเหตุ:

ช่องที่ 1 – 9 และ 11 – 17: แสดงแถบดีเอ็นเอเพื่อระบุเชื้อแบคทีเรีย *P. gingivalis* ของกลุ่มตัวอย่างลำดับที่ 1 – 9 และ 11 – 17

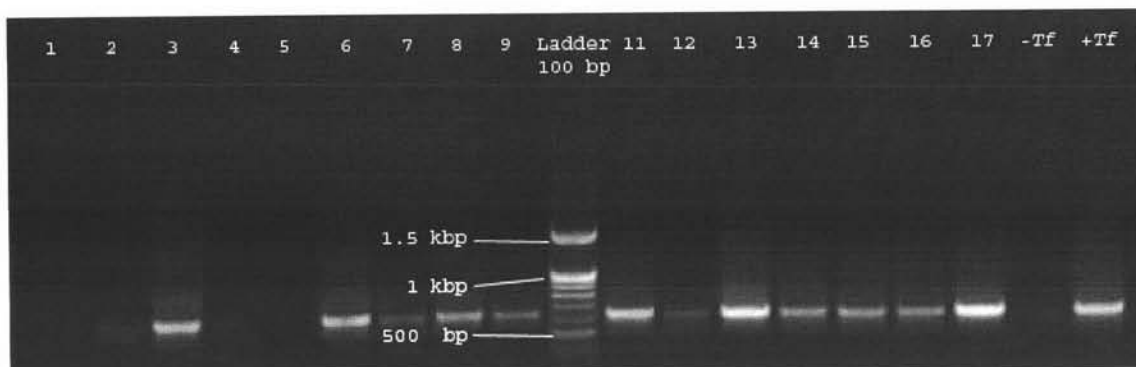
ช่องที่ 10: แสดงแถบดีเอ็นเอมาตรฐาน (DNA ladder) 100 คู่เบส

ช่องที่ 18: แสดงตัวควบคุมที่ไม่มีเชื้อแบคทีเรีย *P. gingivalis* (negative control)

ช่องที่ 19: แสดงตัวควบคุมที่มีเชื้อแบคทีเรีย *P. gingivalis* (positive control)

จากภาพ พบร่องรอยเชื้อแบคทีเรีย *P. gingivalis* ในคราบจุลินทรีย์ได้เห็นอกของตัวอย่างที่ 1, 2, 3, 6, 11, 13, 14, 15 และ 17

ภาพที่ 3: แสดงแถบดีเอ็นเอของแบคทีเรีย *Tannerella forsythia* ที่ตรวจพบในตัวอย่างคราม
ชุลินทรีได้แห้งอกของกลุ่มศึกษา



Tannerella forsythia ขนาด 641 คิเบส

หมายเหตุ:

ช่องที่ 1 – 9 และ 11 – 17: แสดงแถบดีเอ็นเอเพื่อระบุเชื้อแบคทีเรีย *T. forsythia* ของ
กลุ่มตัวอย่างลำดับที่ 1 – 9 และ 11 – 17

ช่องที่ 10: แสดงแถบดีเอ็นเอมาตรฐาน (DNA ladder) 100 คิเบส

ช่องที่ 19: แสดงตัวควบคุมที่ไม่มีเชื้อแบคทีเรีย *T. forsythia* (negative control)

ช่องที่ 20: แสดงตัวควบคุมที่มีเชื้อแบคทีเรีย *T. forsythia* (positive control)

จากภาพ พนเปื้อนเชื้อแบคทีเรีย *Tannerella forsythia* ในครามชุลินทรีได้แห้งอกของตัวอย่างที่ 3, 6, 7, 8,
9, 11, 12, 13, 14, 15, 16 และ 17

ค่าสถิติแสดงการเปรียบเทียบสภาวะปริทันต์ของกลุ่มด้วยย่างที่เป็นและไม่เป็นโรคปริทันต์

T-Test

Group Statistics

CASE	N	Mean	Std. Deviation	Std. Error Mean
total teeth/person	0 non-perio	289	24.35	.233
	1 perio	164	23.17	.403
mean probing depth/person	0 non-perio	289	.35199	.02071
	1 perio	164	.62810	.04905
average att	0 non-perio	289	.50730	.02984
	1 perio	164	1.16677	.09111
probing depth 5 mm. at least 1 sites	0 non-perio	289	.63675	.03746
	1 perio	164	14.97724	1.16953

Independent Samples Test

		Levene's Test for Equality of Variances		t-test for Equality of Means						95% Confidence Interval of the Difference	
		F	Sig.	t	df	Sig. (2-tailed)	Mean Difference	Std. Error Difference	Lower	Upper	
total teeth/person	Equal variances assumed	7.036	,008	2.728	451	,007	1.18	,433	,331	2.034	
	Equal variances not assumed			2.539	272.732	,012	1.18	,466	,266	2.099	
mean probing depth/person	Equal variances assumed	64.111	,000	-19.963	451	,000	-.9190	,04603	-1.00942	-,82849	
	Equal variances not assumed			-17.261	222.281	,000	-.9190	,05324	-1.02387	-,81404	
average att	Equal variances assumed	92.001	,000	-16.252	451	,000	-1.2872	,07920	-1.44285	-1.13154	
	Equal variances not assumed			-13.426	198.555	,000	-1.2872	,09587	-1.47625	-1.09813	
probing depth 5 mm. at least 1 sites	Equal variances assumed	415.096	,000	-17.099	451	,000	-15.0755	,88167	-16.80823	-13.34283	
	Equal variances not assumed			-12.884	163.334	,000	-15.0755	,117013	-17.38606	-12.76501	

ค่าสถิติแสดงการเปรียบเทียบอายุ เพศ และพฤติกรรมการสูบบุหรี่ของกลุ่มด้วยย่างที่เป็นและไม่เป็นโรคปริทันต์

T-Test

Group Statistics

CASE	N	Mean	Std. Deviation	Std. Error Mean
AGE03	0 non-perio	289	47.06	.5243
	1 perio	164	48.42	.5194

Independent Samples Test

		Levene's Test for Equality of Variances		t-test for Equality of Means						95% Confidence Interval of the Difference	
		F	Sig.	t	df	Sig. (2-tailed)	Mean Difference	Std. Error Difference	Lower	Upper	
AGE03	Equal variances assumed	,215	,643	-2.666	451	,008	-1.36	,511	-2.366	-,358	
	Equal variances not assumed			-2.673	341.364	,008	-1.36	,510	-2.364	-,360	

Crosstabs

Case Processing Summary

	Cases					
	Valid		Missing		Total	
	N	Percent	N	Percent	N	Percent
SEX * CASE	453	100.0%	0	.0%	453	100.0%
new smoking group * CASE	453	100.0%	0	.0%	453	100.0%

SEX * CASE

Crosstab

		Count		Total
		CASE		
SEX	0 female	84	31	115
	1 male	205	133	338
	Total	289	164	453

Chi-Square Tests

	Value	df	Asymp. Sig. (2-sided)	Exact Sig. (2-sided)	Exact Sig. (1-sided)
Pearson Chi-Square	5.706 ^b	1	.017		
Continuity Correction ^a	5.182	1	.023		
Likelihood Ratio	5.885	1	.015		
Fisher's Exact Test				.018	.011
Linear-by-Linear Association	5.693	1	.017		
N of Valid Cases	453				

a. Computed only for a 2x2 table

b. 0 cells (.0%) have expected count less than 5. The minimum expected count is 41.63.

new smoking group * CASE

Crosstab

		Count		Total
		CASE		
new smoking group	0 never & former	261	120	381
	1 current	28	44	72
	Total	289	164	453

Chi-Square Tests

	Value	df	Asymp. Sig. (2-sided)	Exact Sig. (2-sided)	Exact Sig. (1-sided)
Pearson Chi-Square	22.995 ^b	1	.000		
<u>Continuity Correction^a</u>	21.731	1	.000		
Likelihood Ratio	22.084	1	.000		
Fisher's Exact Test				.000	.000
Linear-by-Linear Association	22.945	1	.000		
N of Valid Cases	453				

a. Computed only for a 2x2 table

b. 0 cells (.0%) have expected count less than 5. The minimum expected count is 26.07.

ค่าสถิติแสดงการเปรียบเทียบความแตกต่างของความชุกของแบบคที่เรียงทั้ง 3 ชนิดในกลุ่มตัวอย่างที่เป็นและไม่เป็นโรคบริหันต์

Crosstabs

Case Processing Summary

	Cases					
	Valid		Missing		Total	
	N	Percent	N	Percent	N	Percent
AA * CASE	453	100.0%	0	.0%	453	100.0%
PG * CASE	453	100.0%	0	.0%	453	100.0%
TF * CASE	453	100.0%	0	.0%	453	100.0%

AA * CASE

Crosstab

Count

	CASE		Total
	0 non-perio	1 perio	
AA 0 negative	250	117	367
1 positive	39	47	86
Total	289	164	453

Chi-Square Tests

	Value	df	Asymp. Sig. (2-sided)	Exact Sig. (2-sided)	Exact Sig. (1-sided)
Pearson Chi-Square	15.642 ^b	1	.000		
<u>Continuity Correction</u> ^a	14.671	1	.000		
Likelihood Ratio	15.115	1	.000		
Fisher's Exact Test				.000	.000
Linear-by-Linear Association	15.607	1	.000		
N of Valid Cases	453				

a. Computed only for a 2x2 table

b. 0 cells (.0%) have expected count less than 5. The minimum expected count is 31.13.

PG * CASE**Crosstab**

Count

		CASE		Total
		0 non-perio	1 perio	
PG	0 negative	111	21	132
	1 positive	178	143	321
Total		289	164	453

Chi-Square Tests

	Value	df	Asymp. Sig. (2-sided)	Exact Sig. (2-sided)	Exact Sig. (1-sided)
Pearson Chi-Square	33.217 ^b	1	.000		
<u>Continuity Correction</u> ^a	31.988	1	.000		
Likelihood Ratio	36.197	1	.000		
Fisher's Exact Test				.000	.000
Linear-by-Linear Association	33.143	1	.000		
N of Valid Cases	453				

a. Computed only for a 2x2 table

b. 0 cells (.0%) have expected count less than 5. The minimum expected count is 47.79.

TF * CASE**Crosstab**

Count

		CASE		Total
		0 non-perio	1 perio	
TF	0 negative	66	36	102
	1 positive	223	128	351
Total		289	164	453

Chi-Square Tests

	Value	df	Asymp. Sig. (2-sided)	Exact Sig. (2-sided)	Exact Sig. (1-sided)
Pearson Chi-Square	.047 ^b	1	.828		
<u>Continuity Correction^a</u>	.010	1	.920		
Likelihood Ratio	.047	1	.828		
Fisher's Exact Test				.907	.463
Linear-by-Linear Association					
N of Valid Cases	453				

a. Computed only for a 2x2 table

b. 0 cells (.0%) have expected count less than 5. The minimum expected count is 36.93.

การวิเคราะห์คัดคอยโลจิสติก เพื่อหาระดับความสัมพันธ์ของแบคทีเรียก่อโรคบริทันต์ทั้ง 3 ชนิด กับสภาวะบริทันต์

Logistic Regression: *A. actinomycetemcomitans* กับสภาวะบริทันต์

Case Processing Summary

Unweighted Cases ^a		N	Percent
Selected Cases	Included in Analysis	453	100.0
	Missing Cases	0	.0
	Total	453	100.0
Unselected Cases		0	.0
	Total	453	100.0

a. If weight is in effect, see classification table for the total number of cases.

Dependent Variable Encoding

Original Value	Internal Value
0 non-perio	0
1 perio	1

Block 0: Beginning Block

Classification Table^{a,b}

Observed	Step 0 CASE	Predicted		Percentage Correct	
		CASE			
		non-perio	perio		
	non-perio	289	0	100.0	
	perio	164	0	.0	
	Overall Percentage			63.8	

a. Constant is included in the model.

b. The cut value is .500

Variables in the Equation

	B	S.E.	Wald	df	Sig.	Exp(B)
Step 0 Constant	-.567	.098	33.584	1	.000	.567

Variables not in the Equation

Step	Variables	Score	df	Sig.
0	AA	15.642	1	.000
	AGE03	7.028	1	.008
	NEW_SMK	22.995	1	.000
	Overall Statistics	44.098	3	.000

Block 1: Method = Enter**Omnibus Tests of Model Coefficients**

	Chi-square	df	Sig.
Step 1 Step	44.105	3	.000
Block	44.105	3	.000
Model	44.105	3	.000

Model Summary

Step	-2 Log likelihood	Cox & Snell R Square	Nagelkerke R Square
1	548.942	.093	.127

Classification Table^a

Observed		Predicted		Percentage Correct	
		CASE			
		non-perio	perio		
Step 1 CASE	non-perio	257	32	88.9	
	perio	108	56	34.1	
Overall Percentage				69.1	

a. The cut value is .500

Variables in the Equation

Step	Variables	B	S.E.	Wald	df	Sig.	Exp(B)	95.0% C.I. for EXP(B)	
								Lower	Upper
Step 1 AA	.964	.254	14.435	1	.000	2.623	1.595	4.313	
	AGE03	.057	.020	8.412	1	.004	1.059	1.019	1.100
	NEW_SMK	1.229	.273	20.276	1	.000	3.417	2.001	5.833
	Constant	-3.697	.959	14.863	1	.000	.025		

a. Variable(s) entered on step 1: AA, AGE03, NEW_SMK.

Logistic Regression: *P. gingivalis* กับสภาวะปริทันต์

Case Processing Summary

Unweighted Cases ^a		N	Percent
Selected Cases	Included in Analysis	453	100.0
	Missing Cases	0	.0
	Total	453	100.0
Unselected Cases		0	.0
	Total	453	100.0

a. If weight is in effect, see classification table for the total number of cases.

Dependent Variable Encoding

Original Value	Internal Value
0 non-perio	0
1 perio	1

Block 0: Beginning Block

Classification Table^{a,b}

Observed		Predicted		Percentage Correct	
		CASE			
		non-perio	perio		
Step 0	CASE	non-perio	289	0	
		perio	164	0	
Overall Percentage				63.8	

a. Constant is included in the model.

b. The cut value is .500

Variables in the Equation

	B	S.E.	Wald	df	Sig.	Exp(B)
Step 0 Constant	-.567	.098	33.584	1	.000	.567

Variables not in the Equation

		Score	df	Sig.
Step 0	Variables PG	33.217	1	.000
	AGE03	7.028	1	.008
	NEW_SMK	22.995	1	.000
	Overall Statistics	53.318	3	.000

Block 1: Method = Enter

Omnibus Tests of Model Coefficients

	Chi-square	df	Sig.
Step 1 Step	56.690	3	.000
	Block	3	.000
	Model	3	.000

Model Summary

Step	-2 Log likelihood	Cox & Snell R Square	Nagelkerke R Square
1	536.358	.118	.161

Classification Table^a

Observed	Step 1 CASE	Predicted		Percentage Correct	
		CASE			
		non-perio	perio		
		263	26	91.0	
		126	38	23.2	
	Overall Percentage			66.4	

a. The cut value is .500

Variables in the Equation

Step	PG	B	S.E.	Wald	df	Sig.	Exp(B)	95.0% C.I. for EXP(B)	
								Lower	Upper
1	PG	1.299	.268	23.441	1	.000	3.667	2.167	6.206
	AGE03	.043	.020	4.647	1	.031	1.044	1.004	1.086
	NEW_SMK	1.099	.275	15.937	1	.000	3.000	1.749	5.146
	Constant	-3.795	.977	15.100	1	.000	.022		

a. Variable(s) entered on step 1: PG, AGE03, NEW_SMK.

Logistic Regression: *T. forsythia* กับสภาวะปริทันต์

Case Processing Summary

Unweighted Cases ^b		N	Percent
Selected Cases	Included in Analysis	453	100.0
	Missing Cases	0	.0
	Total	453	100.0
Unselected Cases		0	.0
Total		453	100.0

a. If weight is in effect, see classification table for the total number of cases.

Dependent Variable Encoding

Original Value	Internal Value
0 non-perio	0
1 perio	1

Block 0: Beginning Block

Classification Table^{a,b}

Observed		Predicted		Percentage Correct	
		CASE			
		non-perio	perio		
Step 0	CASE	289	0	100.0	
	perio	164	0	.0	
	Overall Percentage			63.8	

a. Constant is included in the model.

b. The cut value is .500

Variables in the Equation

	B	S.E.	Wald	df	Sig.	Exp(B)
Step 0	Constant	-.567	.098	33.584	1	.000

Variables not in the Equation

	Score	df	Sig.
Step 0	Variables	TF	.047
		AGE03	7.028
		NEW_SMK	22.995
	Overall Statistics		30.126
			3
			.000

Block 1: Method = Enter

Omnibus Tests of Model Coefficients

	Chi-square	df	Sig.
Step 1	Step	29.613	.000
	Block	29.613	.000
	Model	29.613	.000

Model Summary

Step	-2 Log likelihood	Cox & Snell R Square	Nagelkerke R Square
1	563.434	.063	.087

Classification Table^a

Observed		Predicted		Percentage Correct	
		CASE			
		non-perio	perio		
Step 1	CASE	261	28	90.3	
	perio	120	44	26.8	
	Overall Percentage			67.3	

a. The cut value is .500

Variables in the Equation

Step		B	S.E.	Wald	df	Sig.	Exp(B)	95.0% C.I. for EXP(B)	
								Lower	Upper
1	TF	.038	.243	.025	1	.875	1.039	.645	1.674
	AGE03	.052	.019	7.402	1	.007	1.054	1.015	1.094
	NEW_SMK	1.253	.268	21.825	1	.000	3.500	2.069	5.919
	Constant	-3.315	.950	12.183	1	.000	.036		

a. Variable(s) entered on step 1: TF, AGE03, NEW_SMK.

ประวัติผู้เขียนวิทยานิพนธ์

นางสาวพรพรรณ พันธ์ย เกิดวันที่ 8 มีนาคม 2514 ที่จังหวัดลำปาง ประวัติการศึกษา สำเร็จการศึกษาทันตแพทยศาสตร์บัณฑิต จากมหาวิทยาลัยเชียงใหม่ ในปีการศึกษา 2538 เข้ารับราชการในตำแหน่งทันตแพทย์ 4 ที่โรงพยาบาลสัมมิง จังหวัดเชียงใหม่ และได้เข้ารับการศึกษาต่อในหลักสูตรประกาศนียบัตรบัณฑิต สาขาวิชาปริทันตวิทยา คณะทันตแพทยศาสตร์ มหาวิทยาลัยเชียงใหม่ ในปีการศึกษา 2544 ปัจจุบันรับราชการเป็นพนักงานมหาวิทยาลัยในตำแหน่งอาจารย์ ภาควิชาปริทันตวิทยา คณะทันตแพทยศาสตร์ มหาวิทยาลัยเชียงใหม่ และเข้ารับการศึกษาต่อหลักสูตรวิทยาศาสตร์รัตนหานบันฑิต สาขาวิชาปริทันตศาสตร์ ภาควิชาปริทันตวิทยา คณะทันตแพทยศาสตร์ จุฬาลงกรณ์มหาวิทยาลัย ในปีการศึกษา 2548